

超並列計算機 CP-PACS の基本性能評価

板倉 憲一[†] 安部井 嘉人[†] 松原 正純[†]
朴 泰祐[†] 中村 宏^{††} 中澤 喜三郎^{†††}

本研究ではさまざまな並列数値処理プログラムで用いられるカーネルループや基本転送パターンによって、超並列計算機 CP-PACS の単体プロセッサの処理能力とプロセッサ間相互結合網の性能を実機によって測定し、その解析を行った。結果から擬似ベクトル処理機構及び3次元 Hyper-Crossbar ネットワークの性能が、シミュレーションによる評価と同様に高い性能を持つことが分った。これらの性能により、CP-PACS が各種大規模科学技術計算に対し非常に高い潜在能力を持つことが確認された。

Evaluation of the basic performance of CP-PACS

KEN'ICHI ITAKURA,[†] YOSHITO ABEI,[†]
MASAZUMI MATSUBARA,[†] TAISUKE BOKU,[†]
HIROSHI NAKAMURA^{††} and KISABURO NAKAZAWA^{†††}

The massively parallel processor CP-PACS has two special features¹, PVP-SW (Pseudo Vector Processor based on Slide Window) for tolerating memory access latency and 3 dimensional Hyper-Crossbar Network which provides very high bisection bandwidth.

In this research, we evaluate the CPU performance from kernel loops and the network performance from basic data transfer patterns on CP-PACS. As an analysis of these results, it is shown that the potential of CP-PACS is very high and suitable for various large scale scientific problems.

1. はじめに

筑波大学では計算物理学を主目的とした CP-PACS プロジェクト¹⁾が進められており、大規模科学技術処理用の超並列計算機 CP-PACS²⁾³⁾を開発した。CP-PACS は本来の目的である QCD 計算の高速化を主眼としているが、その他の様々な数値処理問題に対しても有効に働くようにそのアーキテクチャが設計されている。特に、従来のスーパーコンピュータでさえも能力不足となるような大規模問題に対して、数千台規模という超並列の特性を活かすための強力な相互結合網を用意し、また、単体プロセッサの処理能力の向上を求めて新たなアーキテクチャを導入している。

本報告では、この CP-PACS の単体プロセッサの特徴である、擬似ベクトル処理機構 (PVP-SW: Pseudo Vector Processor based on Slide Window)⁴⁾ と、プロセッサ間相互結合網である 3次元 Hyper-Crossbar 網 (HXB)⁵⁾ についての基本性能評価を行い、その有効性について考察する。

2. 超並列計算機 CP-PACS

CP-PACS²⁾³⁾は 2048 台の PU (Processing Unit) を疎結合した分散メモリ型超並列計算機であり、その理論最高性能は 614.4 GFLOPS である。CP-PACS の構成図を図 1 に示す。

CP-PACS の PU はプロセッサ、主記憶、キャッシュメモリ (1次データ: 16KB, 2次データ: 512KB, いずれもダイレクトマップ)、ネットワークインターフェイスアダプタ (NIA)、記憶制御装置 (Storage Control Unit) から構成される。CP-PACS は MIMD 動作方式を用い、ユーザプログラム中で明示的に記述されるメッセージパッシング命令によってデータを交換する。以下に CP-PACS の主な特徴である、プロセッサの PVP-SW 機構と PU 間相互結合網 HXB について述

[†] 筑波大学 電子・情報工学系
Institute of Information Sciences and Electronics, University of Tsukuba

^{††} 東京大学 先端科学技術研究センター
Research Center for Advanced Science and Technology, University of Tokyo

^{†††} 電気通信大学 情報工学科
Department of Computer Science, University of Electro-Communications

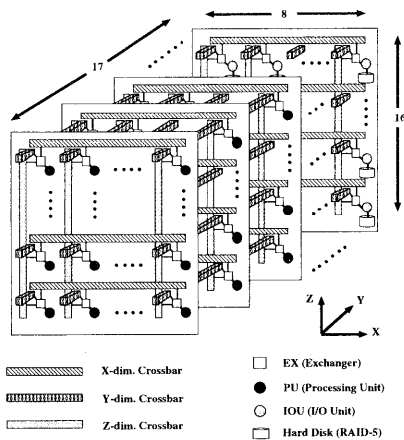


図1 CP-PACS の構成図

べる。

PVP-SW⁴⁾ はキャッシュを用いずにメモリレイテンシを隠蔽する方法を提供し、擬似的なベクトル処理を可能にする。メモリレイテンシの隠蔽は命令の完了を待たずに後続の命令を処理することが可能な、レジスタへの preload 命令によって行なう。さらに、データがメモリからレジスタに届くまでの時間に十分な演算を行なうためにレジスタ数を拡張する。その際、既存 RISC プロセッサとの命令アーキテクチャレベルの上位互換性を保つため、拡張したレジスタにはレジスタ・ウィンドウを用いてアクセスし、通常の命令に対しては拡張前のレジスタ数と同等になるようにする。preload 命令などの拡張した命令は全てのレジスタにアクセス可能にし、実際の演算に先行して preload 命令を発行可能にする。

擬似ベクトル処理はスカラプロセッサのループ処理として実現し、ループの 1 イタレーション内では実際の演算の他に、後の演算で対象となるレジスタへの preload と、ウィンドウを前方にスライドさせる命令を含む。また、スーパスカラ方式により preload 命令と演算命令の同時処理を行うことにより、ベクトル処理を効率的に行う。

CP-PACS の PU では、そのメモリシステムの制約から store および poststore を連続的に行うときには 2 サイクルピッチでしか処理ができない。これは load/store ネットのプログラムではボトルネックとなりやすく、この点については評価を行うときに考察する。また、擬似ベクトル処理はキャッシュと併用することが可能で、CPU をストールさせないソフトウェアによるキャッシュ・プリフェッチ (prefetch) も可能である。メモリはパイプライン・アクセスが可能なので 16 バンク構成となっている。

次に、PU 間相互結合網について述べる。図1はCP-

PACS の $8 \times 17 \times 16$ の 3 次元 HXB を示している。この図のように、PU は 3 次元直交空間上に並べられ、各次元方向にそれぞれ一列に並んだ PU 同士はクロスバスイッチ (XB) によって完全結合される。3 次元 HXB の場合、1PU は 3 方向の XB と接続され、そのポイントにエクステンジャ(EX)と呼ばれるルーティングスイッチが設けられている。HXB の特徴は中規模のクロスバで接続されているのでその半径が小さく、また、ネットワークのリンクの数が非常に多いのでそのバイセクションバンド幅が広い点である。

さらに、CP-PACS はリモート DMA と呼ばれる高速なデータ転送方式を用いている。これは、PU の NIA がユーザメモリ空間のデータを直接 DMA アクセスして送受信を行うものである。特に受信側では受信命令を発行する必要は無く、メッセージ到着によって自動的に NIA が動作し、受信側のユーザメモリ空間にデータが書き込まれる。このように、システム領域のバッファを使用しないので、ハードウェアの高速なスループットをそのまま活かすことができる。また、転送の立ち上げオーバーヘッドを軽減するために、NIA の起動は OS を介さずにユーザが直接行なえるようになっている。

現在の CP-PACS は 2048 PU を 1024PU, 512PU, 256PU \times 2 の 4 つのパーティションに分けて分割運転しており、今回の性能測定には 256 PU ($4 \times 8 \times 8$) のパーティションを使用した。

3. CPU 単体性能評価

CPU の性能は表1に示すカーネルループによって評価する。ここに示したループは全てコンパイラによって PVP-SW 機構による擬似ベクトル処理コードが生成可能であり、このコード (以下 PVPcode) と通常の load/store 命令を用いキャッシュメモリによってメモリレイテンシを隠蔽するコード (以下 CACHEcode) の比較を行う。以下では L をループ長とする。

表1 CPU 性能評価を行うカーネルループ

ループ名	内容
ADD	$c(i) = a(i) + b(i)$
DAXPY	$c(i) = s \times a(i) + c(i)$
SUMUP	$s = s + a(i)$
INNERP	$s = a(i) \times b(i)$
L.SUMUP	$s = s + a(l(i))$
L.INNERP	$s = s + a(l(i)) \times b(i)$

ベクトル a, b, c およびスカラ s は倍精度浮動小数点データであり、ベクトルはいずれも 2 次キャッシュより大きい容量を持つ。このベクトルの先頭から L 要素のデータを用いてループ長と処理時間の関係を測定する。なお、各ベクトルの先頭番地は 1 次および 2 次キャッシュメモリでラインコンフリクトしないように意図的

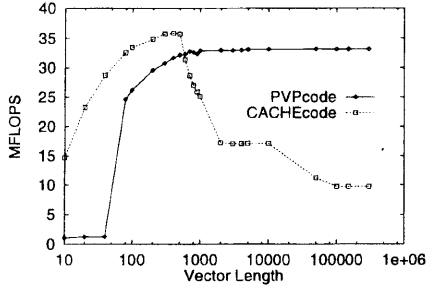


図2 ADDの実効性能

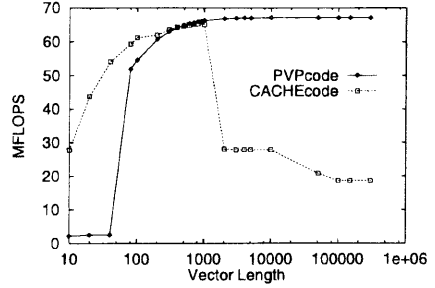


図3 DAXPYの実効性能

にずらして配置してある。また、リストベクトル処理(LSUMUP, LINNERP)ではインデックスベクトル l が重複無しに a の10%の要素をランダムに指す。CACHEcode に対しては全てのデータがキャッシングの対象であるが、PVPcode ではインデックスベクトル l のみがキャッシングされる。これは、浮動小数点データは preload/poststore によってメモリアクセスレイテンシの隠蔽が可能であり、他のキャッシングすべきデータ(インデックスベクトル l)に干渉させないためである。このようなキャッシングのコントロールはFORTRANソース上のディレクティブによって宣言できる。一般のアプリケーションではここで測定するような基本ベクトル処理を繰り返し行うので、測定は複数回繰り返した場合で行い、キャッシュメモリが warm start の状態で評価を行っている。後に示す評価ではベクトル長が非常に短い時にPVPcodeが低い性能しか出ていないが、これはコンパイラがループを擬似ベクトル処理するのが不可能と判断し、キャッシングしないデータに対しても通常の load/store 命令によってアクセスするコードを使用するからである。

まず、ベクトルの store のある ADD と DAXPY の結果を図2, 3にそれぞれ示す。CACHEcode の ADD と DAXPY では $L < 500$ の時にワーキングセットが1次キャッシュメモリ内に収まり、 $L < 10000$ の時に2次キャッシュメモリ内に収まる。図2, 3ではループ長が長くなるとキャッシュメモリが容量不足となり、性能低下が顕著に現れる。これに対して、PVPcode では長いベクトル長に対してもメモリアクセスレイテンシを十分隠蔽し、高い性能を維持できることが分かる。コンパイラはADDのFORTRANソースをCACHEcode, PVPcode 共に4回アンローリングする。load/store 命令と演算命令はスーパスカラによって同時発行可能なため、ADDはload/store ネットのループとなる。このループの処理の実効演算性能 S [MFLOPS] は1イタレーションの演算数 f [FLOP] とその実行クロック数 t [clock] より以下のように計算できる。

$$S = f \times 150/t$$

そこで、CACHEcode と PVPcode の最内ループのループ演算におけるアセンブラソースを解析し、スーパスカラ性を考慮してコードスケジュールを検討した。このときにCACHEcodeでは全データがキャッシュヒット、PVPcodeではpreload/poststoreによってメモリアクセスレイテンシが完全に隠蔽できていると仮定した。このようにして、ADD以下全てのカーネルについて予測した性能を表2に示す。

表2 各カーネルのピーク性能予測 [MFLOPS]

ループ名	CACHE	PVP	NOFP
ADD	35.3 (17)	33.3 (18)	-
DAXPY	66.6 (18)	66.6 (18)	-
SUMUP	120.0 (5)	100.0 (6)	-
INNERP	133.3 (9)	120.0 (10)	-
LSUMUP	66.7 (9)	54.5 (11)	60.0 (10)
LINNERP	100.0 (12)	80.0 (15)	85.7 (14)

(括弧内はスケジューリングを考慮した実効クロック数である。表中CACHE, PVP, NOFPはそれぞれ、本文中のCACHEcode, PVPcode, NOFPcodeに対応する。)

PVPcodeではウィンドウ切り替えによって、ループオーバーヘッドが大きいために、ピーク性能予測ではCACHEcodeの方が高く、実際にもワーキングセットが1次キャッシュに収まる短ベクトルではwarm startのCACHEcodeの方が勝っている。しかし、この差はアンローリングの度数を増やすことで縮まるので、PVPcodeはさらなるアンローリングをすることが必要だと考える。DAXPYにおいてもほぼ同様なload/store ネットのスケジューリングとなるが、CACHEcodeに整数系演算が1つ入るために、理論的な性能が等しくなっている。なお、減算や乗算のループも同じコードスケジュールになるのでADDと同様の結果となる。

次に、2サイクルピッチのstoreの影響を除いた例として、SUMUPとINNERPの結果を図4, 5にそれぞれ示す。SUMUPとINNERPは、ADDと同じく4回アンローリングされているが、ループ内にstoreが無いので、4loadもしくは8load分の時間とループオーバーヘッドで理論ピーク性能が計算できる。

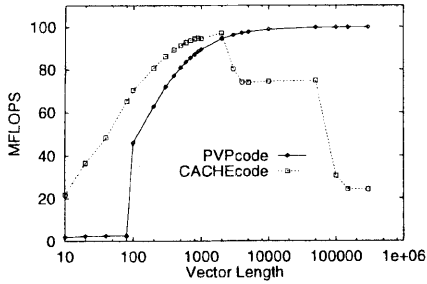


図4 SUMUPの実効性能

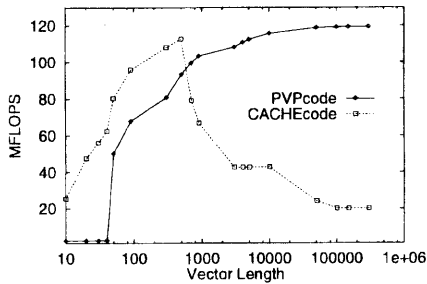


図5 INNERPの実効性能

この2つのループではADDに比べて最内ループが短いので、ループの立ち上げオーバーヘッドの影響が大きい。CACHEcodeは理論ピークに到達する点が1次キャッシュメモリの容量とほぼ等しく、それ以下のベクトル長では性能が発揮できていない。これに対して、PVP-SWでは同程度のベクトル長で、ほぼピーク性能に達し、それ以上のベクトル長でも速度低下が無いことが分る。PVPcodeの測定結果は表2の解析結果に一致するが、CACHEcodeは理論ピークに達する前に1次キャッシュメモリの容量不足を起している。

最後に疎行列演算などで表われるリストベクトル処理の例としてL.SUMUP, L.INNERPの結果を図6, 7に示す。CACHEcodeでは浮動小数点データとリストインデックスデータをキャッシングするので、ベクトル長が高々100程度で性能低下を引き起す。このような短いベクトル長ではループの立ち上げオーバーヘッドの影響が大きくwarm startの状態でも高い性能が出ない。キャッシュメモリに頼ったシステムでは、大きなワーキングセットサイズをいくつかのブロックに分割し、高いキャッシュヒット率の下で演算を行う高速化手法が一般に行われる⁶⁾。しかし、リストベクトル処理のようにワーキングセットに対して演算数が少ない例では、ループ分割によるオーバーヘッドが大きくなり、高い性能を発揮することが難しいことをこの例は示している。これに対して、PVPcodeでは高いメモリスループットを活かし大きなワーキングセットに対しても有効に働く。PVPcodeではリストベクトルデータ

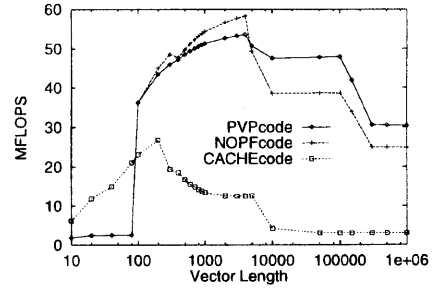


図6 L.SUMUPの実効性能

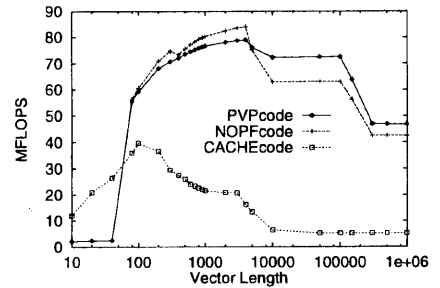


図7 L.INNERPの実効性能

$a(l(i))$ は以下の手順でレジスタに読み込む⁷⁾。

- (1) $l(i)$ をキャッシュメモリへprefetch
- (2) $l(i)$ のload
- (3) $a(l(i))$ のpreload

しかし、 $L < 4000$ では l を全てキャッシュメモリに保持するためにprefetchは余分な時間消費である。そこで、最内ループ内でprefetchを行わないコード(NOPFcode)を作成し、その測定結果も図6, 7に示してある。確かに $L < 4000$ ではNOPFcodeの方がPVPcodeよりも良い性能を出しているが、これは、ループアンローリングの割合を増やすことで差が縮まる。しかし、 $L > 4000$ の場合にはNOPFcodeは l のメモリアクセス時間を隠すことが難しくなるので、その性能低下の割合は大きい。 $L > 140000$ では l が2次キャッシュにも収まらなくなる。この時には、PVPcodeのキャッシュプリフェッチを行っても l のメモリアクセス時間を隠すことができなくなり、共にピークの半分程度の性能となってしまふ。このような場合にはそもそも十分なベクトル長があるので、それを活かして十分事前にキャッシュプリフェッチ命令を発行しておき、2次キャッシュに収まっている程度の性能を保持できるのではないかと考えられる。

4. Network性能評価

Networkの性能評価はバリア同期と表3に示すデータ転送パターンで行う。バリア同期はシステム関数と

して用意されており、内部では参加する PU によって 4 進木を構成し、ソフトウェアによってバリアメッセージの収集および放送を行う。連続する 2 回のバリア同期の間の時間と PU 数の関係を表 4 に示す。この結果よりバリア同期の時間は $\log_4(\text{PU 数})$ に比例した時間がかかっていることが分り、256 PU での同期にかかる時間は約 80 μsec である。

表 3 Network 性能評価をデータ転送パターン

転送パターン名	内容
PINGPONG	隣接 2PU によるピンポン転送
PARALLEL	等方一斉転送 [dst=(src+1)%P]
SHUFFLE	シャッフル転送 [dst=(src<<1)%P +(src>>(log ₂ (P)-1))]
RANDOM	ランダム転送
ALL2ALL_BT	全対全ブロードキャスト (バタフライ転送)
ONE2ALL_SYS	1 対全ブロードキャスト (システム関数)
ONE2ALL_PP	1 体全ブロードキャスト (P-1 回転送)
ONE2ALL_2TR	1 対全ブロードキャスト (2 進木による転送)

(PARALLEL と SHUFFLE は 全 PU に 1 次元アドレスを振り、送信元 PU (src) と送信先 PU (dst) の関係を C 言語の書式で示した。P は PU 数を表す。)

表 4 バリア同期の時間

PU 数	16	32	64	128	256
時間 (μsec)	38.8	48.3	61.4	69.5	80.9

まず、1PU からメッセージを 1 回転送するのにかかるレイテンシを PINGPONG, PARALLEL, SHUFFLE の転送パターンにおいて測定した結果を図 8 に示す。ここで、PINGPONG は 往復の時間の半分で測定しており、そのためにほとんど誤差がないと考えられるが、PARALLEL, SHUFFLE の計測はまず、全 PU でバリア同期を取り、その後転送が終了するまでの時間を各 PU が測定し、その中で最も時間のかかったものを示している。しかし、256 PU でのバリア同期の時間が 80 μsec であることから、メッセージ長が 8KB よりも短い場合にはこのバリア同期の誤差にまぎれてしまい、測定することが不可能であった。以下では、8KB よりも大きいメッセージについての考察を行う。

PINGPONG は最も基本的な転送パターンであり、その転送性能はトポロジに依存しないハードウェアの基本性能と言える。PARALLEL は仮想的な 1 次元アドレスの隣りに送る転送であり、実際の 3 次元 HXB では必ずしも隣りに送るわけではない。しかし、HXB ではこのような等方転送は完全に無衝突に行えるので⁸⁾、PINGPONG とほぼ同じレイテンシとなる。SHUFFLE 転送では 3 次元 HXB で最大 2 回衝突することがわかっている⁹⁾。このために、PINGPONG

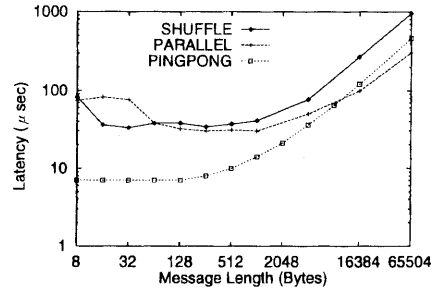


図 8 各種転送パターンにおけるレイテンシ (256PU)

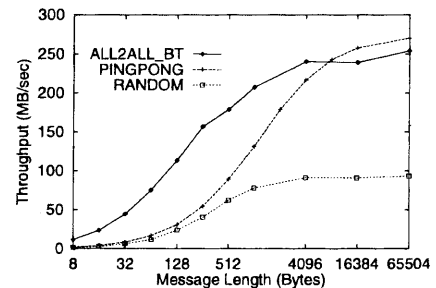


図 9 各種転送パターンにおける実効スループット (256PU)

の 3 倍の時間がかかる。この 2 回の衝突は 3 次元という構成に起因しており、PU 数には直接的な関係がない。しかしこれはトラスネットワークにおいてグローバルな通信をした場合の衝突の回数に比べると、非常に低い割合である。

HXB の実効スループット性能を PINGPONG, RANDOM, ALL2ALL_BT の転送パターンにおいて測定した結果を図 9 に示す。この場合も PINGPONG の性能が指標となる。RANDOM では各 PU が乱数によって送信先を決定し、メッセージを送出することを繰り返す。この結果、各 PU は常にネットワークにメッセージを転送しようとし、非常に高い負荷状態の性能を調べることになる。なお、リモート DMA 機構によって NIA が受信メッセージを直接メモリに書き込むため、メッセージの受信操作は行わない。

メモリスループットおよび、NIA のスループットは送受信を同時に行うバンド幅を持つため、RANDOM の場合のスループットの低下は 3 次元 HXB 上でのメッセージの衝突によるものである。我々が過去に行った各種ネットワークトポロジのシミュレーション結果⁵⁾では、他のトポロジに比べて 3 次元 HXB におけるランダム転送無衝突時の約 33% と、他のネットワークに比べ非常に高い結果を示している。このシミュレーションではデータ転送時の立ち上げオーバーヘッドが無い状態を仮定しており、今回の事例において、 $N_{1/2} = 2\text{KB}$ よりもメッセージ長が大きい場合にはほぼシミュ

レーション通りの性能を示している。 $N_{\frac{1}{2}}$ よりも短いメッセージ長では、PU内でのソフトウェアおよびハードウェアのオーバーヘッドの割合が大きくなり、ネットワークに対する負荷が小さくなる。このためにネットワーク中の衝突が少なくなり無衝突のPINGPONGに近いスループットが得られる結果となった。

ALL2ALL.BTではバタフライ転送パターンで全対全ブロードキャストを行っており¹⁰⁾、横軸のメッセージ長は各PUが最初に出すメッセージ長である。実際のメッセージ長はバタフライ転送の段数が進む毎に2倍になるので、平均のメッセージ長は長くなり、見かけのスループットがPINGPONGを越える。この割合は最初のメッセージ長が短い場合に顕著に現れ、最初の転送のメッセージ長が $N_{\frac{1}{2}}$ を越える場合のスループットはほぼPINGPONGに等しくなり、最後には逆に段数分の転送オーバーヘッドによってPINGPONGを下回る値となる。

最後に、1対全のブロードキャストを3種類の方法で行った結果を図10に示す。ONE2ALL.PPではブ

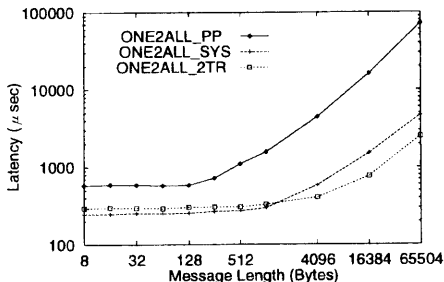


図10 1対全ブロードキャストのレイテンシ (256PU)

ロードキャストするPUが残りの全PUに個別に転送を行う。この為に、図8のPINGPONGの約256倍の結果となる。ONE2ALL.2TRでは256台のPUで2進木を構成し、順次転送をユーザーレベルで行うものがある。これに対して、ONE2ALL.SYSはシステム関数として用意されているブロードキャストである。この内部では、同一XBに結合されたPUへの転送はNIAのハードウェアによって連続的に行われるため、オーバーヘッドが少ない。このために、メッセージ長が短い場合には、ONE2ALL.2TRよりもONE2ALL.SYSが短時間で終了する。しかし、メッセージ長が長い場合には、OSの処理が途中に入らないので、ユーザプログラムで書いたONE2ALL.2TRの方が短時間で終了する。

5. おわりに

本報告では、超並列計算機CP-PACSの基本性能をノードプロセッサとネットワークの性能に分けて測定、

解析を行った。今までのシミュレーションや机上計算による性能予測では様々な点で理想的な状態を仮定した評価を行っていたが、実機においてもほぼ予想通りの結果が得られ、ノードプロセッサに用いた擬似ベクトル処理機構やノード間結合網である3次元HXBが高い性能を持つことが分かった。我々は、このような基本要素の性能解析は実アプリケーションのチューニングや、更に次期世代のアーキテクチャ開発に役立つものと考えており、このような基本性能をふまえて実アプリケーションのチューニング手法を提案することを考えたい。

謝辞 CP-PACSを利用する機会を与えて頂いた計算物理学研究センター関係各位に感謝します。また、筑波大学坂井修一助教授ならびにアーキテクチャ研究室の諸氏には貴重な御意見を頂いたことに感謝します。なお、本研究の一部は創成的基礎研究費(08NP0401)の補助によるものである。

参考文献

- 1) 岩崎洋一ほか:「専用並列計算機による「場の物理」の研究」, 技術報告, 筑波大学計算物理学研究センター (1994). 新プログラムによる研究 研究進捗状況報告書.
- 2) 中澤喜三郎ほか:「CP-PACSのアーキテクチャの概要」, 情処研報 ARC-108-9 (1994).
- 3) Iwasaki, Y.: "Status of the CP-PACS Project", *Proc. of Lattice '96, Nucl. Phys. B(Proc. Suppl.)* (1996).
- 4) Nakamura, H. et al.: "A Scalar Architecture for Pseudo Vector Processing based on Slide-Windowed Registers", *Proc. of ACM International Conference on Supercomputing '93*, pp. 298-307 (1993).
- 5) 朴泰祐ほか:「ハイパクロスバ・ネットワークの性能評価」, 信学技報 CPSY-93-40 (1993).
- 6) Lam, M. et al.: "The cache performance and optimization of blocked algorithms", *Proc. of ASPLOS-IV* (1991).
- 7) Nakamura, H. et al.: "Pseudo Vector Processor for High-Speed List Vector Computation with Hiding Memory Access Latency", *Proc. of 1994 IEEE TENCON*, pp. 338-342 (1994).
- 8) 保田淑子ほか:「ハイパクロスバネットワークの通信性能評価」, 信学技報 CPSY-93-25 (1993).
- 9) 板倉憲一ほか:「ハイパクロスバ・ネットワークにおける並列ソート処理」, 情処全大 第47回 (6), pp. 177-178 (1993).
- 10) 板倉憲一ほか:「並列計算機CP-PACSのCGベンチマークによる性能評価システム」, 情処研報 HPC-63-6, pp. 31-36 (1996).